

Características

## **FESTO**

### Ventajas en comparación con la pinza paralela HGPT

### • Dimensiones óptimas:

A elegir entre cuerpo más corto sin aseguramiento de la fuerza de sujeción y cuerpo más largo, con aseguramiento de la fuerza de sujeción.

## • Mayor fuerza de sujeción / Variante de mayor fuerza:

Aumento de la fuerza de sujeción en 30% mediante émbolo oval. También disponible en la variante de mayor fuerza: mitad del recorrido, duplicación de la fuerza.

## • Reducción del peso:

Utilización sistemática de materiales más ligeros y, a la vez, más resistentes.

#### • 4 ranuras para sensores:

Los sensores se montan a ras. Detección posible de hasta cuatro posiciones.

### Informaciones resumidas

Informaciones generales

Cinemática robusta y precisa, para soportar momentos muy grandes. Gran duración.

La transformación del movimiento vertical del émbolo en movimiento horizontal de los dedos se consigue mediante planos inclinados opuestos

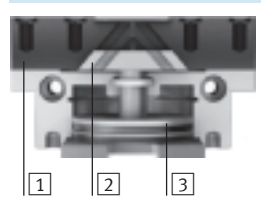
que guían el movimiento. Los planos inclinados hacen que los dedos se muevan de modo sincronizado. La guía de deslizamiento de las mordazas, casi sin holguras, está rectificada.

## Utilización versátil

#### Utilización versátil:

- Utilización indistinta de pinzas de simple y de doble efecto.
- Con muelle para apoyar o asegurar las fuerzas de sujeción.
- Apropiada para la utilización como pinza de sujeción interior o exterior.
- Centrado con pasador o casquillo.

## La tecnología Pinza con dedos cerrados



#### Pinza con dedos abiertos



- 1 Dedos
- 2 Planos inclinados para el guiado
- 3 Émbolo con imán

## Conexiones adicionales Para aire de barrido



Estando conectado el aire de bloqueo (máx. 0,5 bar), el aire comprimido fluye a lo largo de las mordazas. De este modo se evita que puedan entrar partículas extrañas (por ejemplo, polvo) en la zona de la guía de las mordazas.



Importante

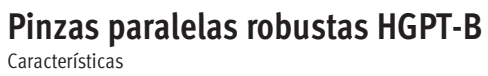
Software de diseño Selección de pinzas

→ www.festo.com

#### Para lubricación



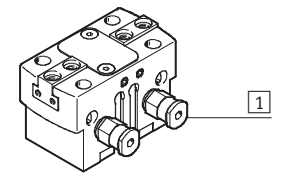
Las conexiones pueden utilizarse para la lubricación posterior de la guía.



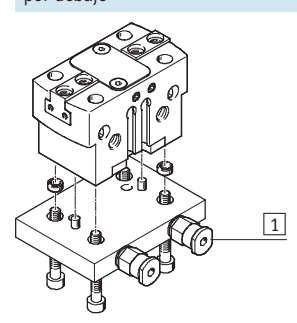
**FESTO** 

# Diversas conexiones de aire comprimido

Directa delante



Conexión mediante placa adaptadora por debajo

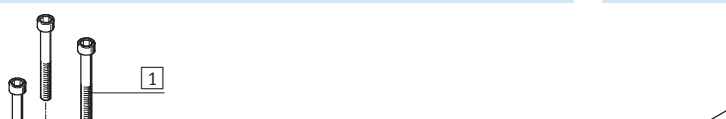


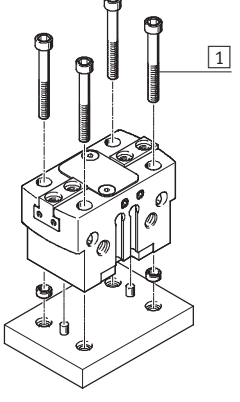
por debajo o lateralmente

1 Conexiones para el aire comprimido

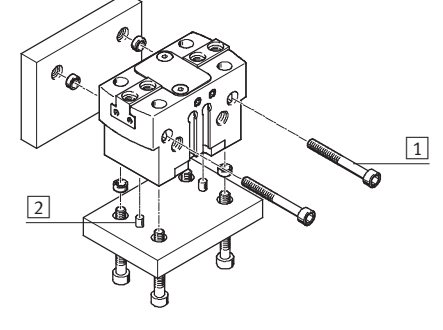
# Posibilidades de montaje

Montaje directo por arriba





- 1 Tornillos de fijación
- 2 Pasadores y casquillos para centrar



Importante

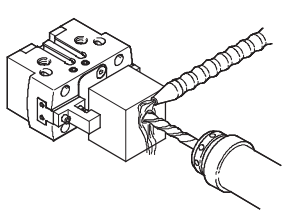
Las pinzas no ha sido concebidas para aplicaciones bajo las siguientes condiciones o similares:

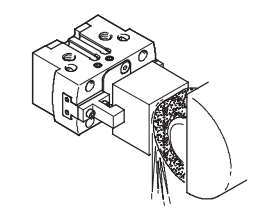
No apropiada para:



Salpicaduras de soldadura

Apropiada con limitaciones para:





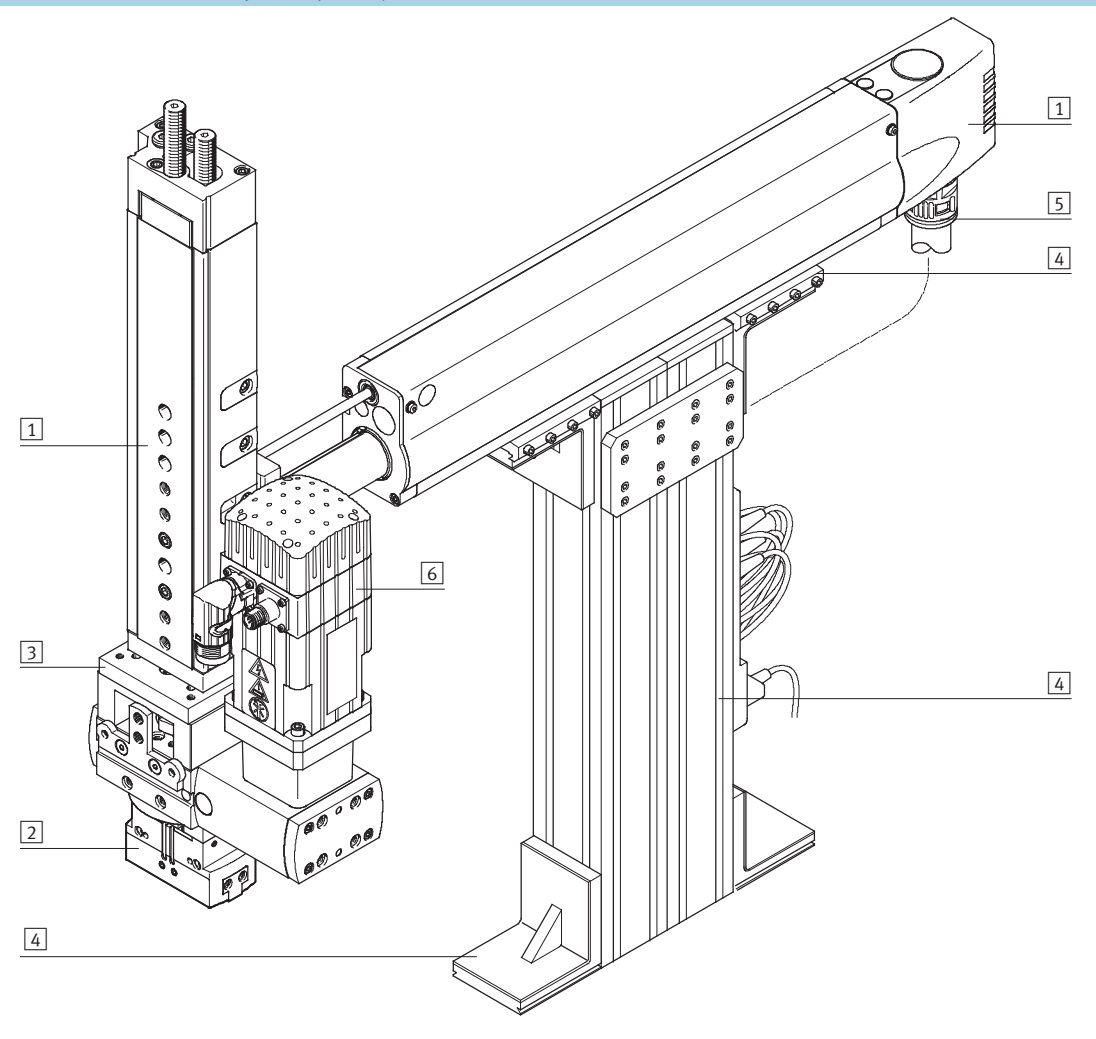
- Apropiada para cortes con virutas con aplicación de aire de barrido
- Consulte a Festo si desea utilizar fluidos agresivos



# Pinzas paralelas robustas HGPT-B Características

**FESTO** 

# Producto del sistema de la técnica de manipulación y montaje



lem	entos del sistema y accesorios		
		Descripción resumida	→ Página/Internet
1	Actuadores	Múltiples combinaciones posibles con los módulos del sistema para manipulación y montaje	actuador
2	Pinzas	Múltiples variantes posibles con los módulos del sistema para manipulación y montaje	pinzas
3	Adaptadores	Para conexiones actuador/actuador y actuador/pinza	módulos de adaptación
4	Componentes básicos	Perfiles y uniones de perfiles y uniones perfil/actuador	elemento básico
5	Componentes para la instalación	Para tender y guiar los cables y tubos flexibles de modo claro y fiable	componente para la instalación
6	Motores	Servomotores y motores paso a paso, con o sin reductor	motor
-	Ejes	Múltiples combinaciones posibles con los módulos del sistema para manipulación y montaje	eje



# Pinzas paralelas robustas HGPT-B Cuadro general de periféricos

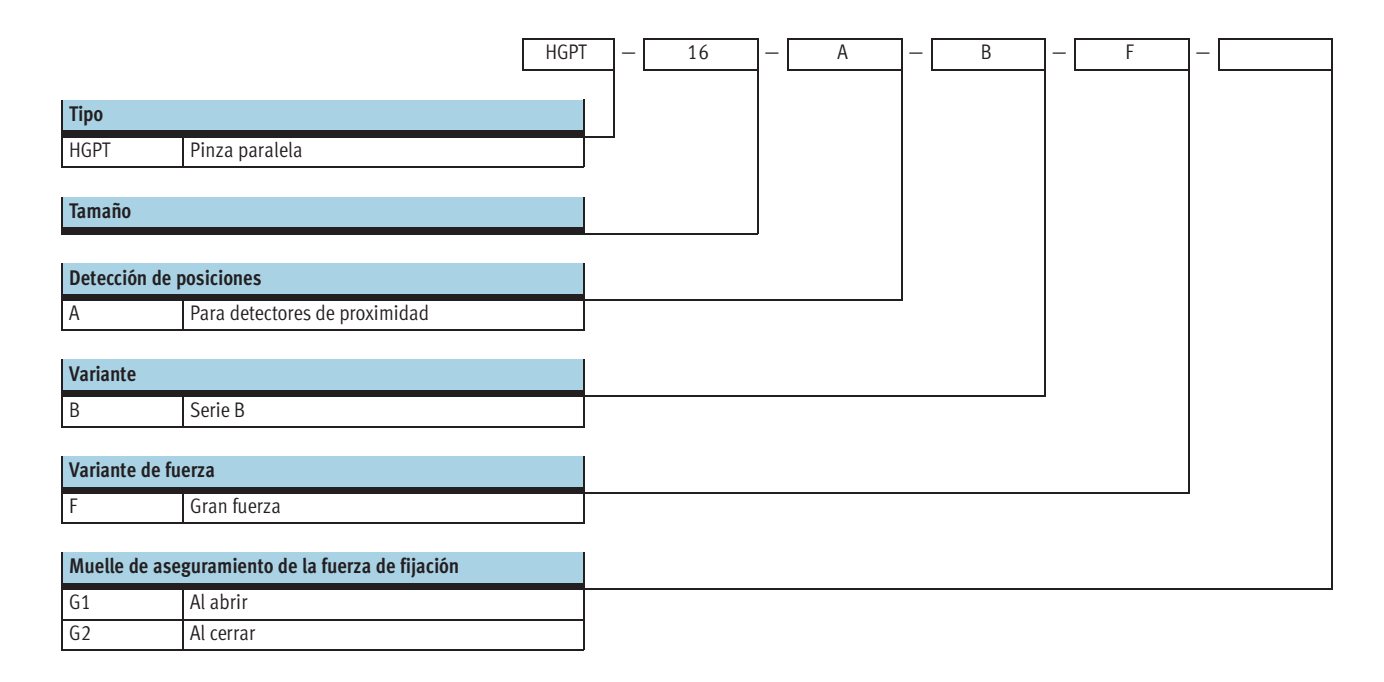
**FESTO** 

# Cuadro general de periféricos

Acces	sorios		
	Tipo	Descripción resumida	→ Página/Internet
1	Pieza en bruto para dedos BUB-HGPT	Piezas en bruto especiales para la producción de dedos según las especificaciones del cliente	19
2	Casquillo para centrar ZBH	<ul> <li>Para centrar las pinzas en las mordazas</li> <li>Los casquillos para centrar están incluidos en el suministro de la pinza</li> </ul>	20
3	Boquilla de lubricación	Incluido en el suministro de la pinza	-
4	Detectores de posición SMT-8G/SMT-10G	<ul> <li>Para consultar la posición del émbolo</li> <li>El detector está montado a ras en la parte inferior del cuerpo</li> </ul>	20
5	Transmisor de posiciones SMAT-8M	<ul> <li>Detecta de manera continua la posición del émbolo. Dispone de una salida analógica con una señal de salida proporcional a la posición del émbolo</li> <li>Para tamaños 40 80</li> </ul>	21
6	Racor rápido roscado QS	Para la conexión de tubos flexibles con tolerancias en su diámetro exterior	quick star
7	Tapón ciego B	Para cerrar las conexiones de aire comprimido al utilizar las conexiones inferiores	20
8	Casquillo para centrar ZBH	Para centrar la pinza después del montaje	20
9	-	Unión entre el actuador y la pinza	módulos de adaptación



# Pinzas paralelas robustas HGPT-B Referencia

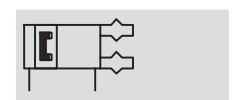




Hoja de datos

**FESTO** 

Función Doble efecto HGPT-...

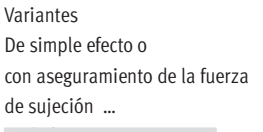




Tamaño 16 ... 80 mm



Carrera total 3 ... 50 mm









Datos técnicos general	es												
Tamaño			16	20	25	35	40	50	63	80			
Construcción			Plano incli	nado									
				Movimiento guiado									
Funcionamiento	Funcionamiento			to									
Funcionamiento de la p	inza		Paralela										
Cantidad de dedos			2										
Fuerza máxima por ded	o externo <sup>1)</sup>	[N]	0,4	0,5	1,1	1,8	3,1	6,4	12,6	18,3			
Carrera por mordaza	HGPTA	[mm]	3	4	6	8	10	12	16	25			
	HGPTA-F	[mm]	1,5	2	3	4	5	6	8	12,5			
Conexión neumática			M3	M3	M5	M5	M5	G1/8	G1/8	G1/4			
Conexión neumática de	l aire de barrido		M3	M3	M5	M5	M5	M5	M5	M5			
Precisión de repetición?	2)	[mm]	±0,01	±0,02	·	±0,025							
Máxima precisión de su	stitución	[mm]	0,2										
Frecuencia máx. de trab	ajo	[Hz]	3				2						
Simetría de las mordaza	as	[mm]	<∅0,2	<∅0,2									
Detección de posiciones	5		Para detectores de posición, transmisores de posición										
Tipo de fijación	Tipo de fijación				Con taladro pasante y pasador/casquillo para centrar								
			Con rosca	nterior y pas	sador/casquill	o para centrar	•						
Posición de montaje			Indistinta										

- 1) Datos válidos para funcionamiento sin estrangulación
- 2) Margen de la posición final bajo condiciones de funcionamiento constantes y 100 carreras seguidas en dirección del movimiento de los dedos
- $\|\cdot\|$  Importante: Este producto cumple con los estándares ISO 1179-1 e ISO 228-1

Condiciones de funciona	ondiciones de funcionamiento y del entorno								
Presión mín.	HGPTA	[bar]	3						
de funcionamiento	HGPTA-G	[bar]	4						
Presión máx. de funcionamiento [bar]		[bar]	8						
Presión de funcionamier	Presión de funcionamiento, [bar]		0 0,5						
aire de barrido									
Fluido	Fluido		Aire comprimido filtrado, lubricado o sin lubricar						
Temperatura ambiente <sup>1)</sup> [°C]		[°C]	+5 +60						
Clase de resistencia a la	corrosión <sup>2)</sup>		2						

- 1) Tener en cuenta las condiciones de funcionamiento de los detectores
- Clase de resistencia a la corrosión 2 según norma de Festo 940 070
   Válida para piezas expuestas a moderado peligro de corrosión. Piezas exteriores en contacto directo con substancias usuales en entornos industriales, tales como disolventes, detergentes o lubricantes, con superficies principalmente decorativas

→ Internet: www.festo.com/catalogue/...



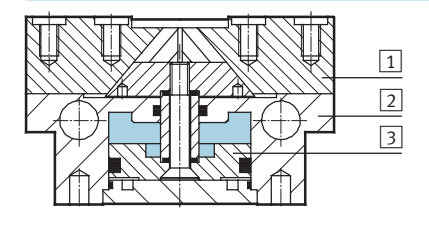
# Pinzas paralelas robustas HGPT-B Hoja de datos

**FESTO** 

Pesos [g]								
Tamaño	16	20	25	35	40	50	63	80
HGPTA	85	135	266	490	821	1 400	2 712	4 745
HGPTA-F	85	135	266	490	821	1 400	2 712	4 745
HGPTA-G	100	155	353	567	1 075	1 832	3 562	6 287

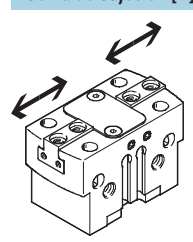
# Materiales

Vista en sección



Pinz	a paralela							
1	Dedos	Acero templado						
2	Cuerpo	Aleación de forja de aluminio, anodizado duro						
3	Émbolo	Aluminio anodizado duro						
-	Juntas	Caucho nitrílico						
-	Características del material	Sin cobre, PTFE ni silicona						
		Conformidad con RoHS						

# Fuerza de sujeción [N] con 6 bar [N]

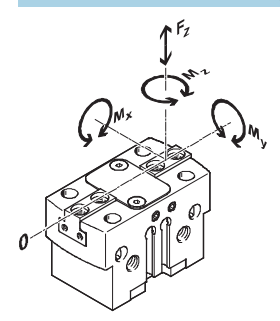


Tamaño		16	20	25	35	40	50	63	80
Fuerza de sujeción por dedo									
HGPTA	Abrir	60	82	133	245	355	570	896	1 613
	Cerrar	53	77	124	229	331	535	851	1 551
HGPTA-F	Abrir	108	172	238	500	723	1 185	1 885	3 275
	Cerrar	96	161	221	467	674	1 113	1 791	3 1 5 0
Fuerza de sujeción total									
HGPTA	Abrir	120	162	266	490	710	1 140	1 792	3 226
	Cerrar	106	154	248	458	662	1 070	1 702	3 102
HGPTA-F	Abrir	216	344	476	1 000	1 446	2 370	3 770	6 550
	Cerrar	192	322	442	934	1 328	2 226	3 522	6 300

**FESTO** 

Hoja de datos

# Valores característicos de la carga en las mordazas



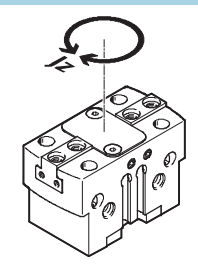
Las fuerzas y momentos admisibles se refieren a un dedo. Los valores indicados incluyen la fuerza de palanca, las fuerzas debido al peso de la pieza u ocasionadas por dedos externos y, además, las fuerzas ocasionadas por

la aceleración durante la ejecución del movimiento. Al efectuar el cálculo de los momentos debe tenerse en cuenta el punto 0 del sistema de coordenadas (guiado de

Tamaño		16	20	25	35	40	50	63	80
Fuerza F <sub>z</sub> máxima admisible	[N]	200	700	1 200	1 800	2 500	3 200	5 000	7 000
Momento M <sub>x</sub> máximo admisible	[Nm]	10	15	50	80	100	120	160	180
Momento M <sub>y</sub> máximo admisible	[Nm]	12	15	45	60	90	120	180	220
Momento M <sub>z</sub> máximo admisible	[Nm]	6	8	35	50	75	100	140	170

los dedos).

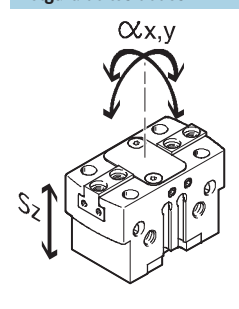
# Momentos de inercia de la masa [kgm²x10-4]



Momento de inercia de la masa de la pinza paralela, tomando como referencia el eje central. Sin dedos externos, sin carga.

Tamaño	16	20	25	35	40	50	63	80
HGPTA	0,141	0,344	0,983	2,807	7,277	19,488	60,903	150,515
HGPTA-G	0,163	0,445	1,479	3,974	10,990	29,423	93,034	238,336

## Holgura de los dedos



Las pinzas tienen una holgura entre los dedos y el cuerpo debido al sistema de guía de deslizamiento. Los valores correspondientes a la holgura que constan en la tabla fueron calculados aplicando el método convencional de adición de tolerancias.

Tamaño		16	20	25	35	40	50	63	80
Holgura Sz máx. de las mordazas	[mm]	0,02							
Holgura ax, ay angular máx.	[°]	0,1							
de las mordazas									

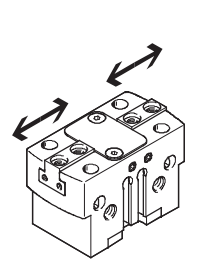


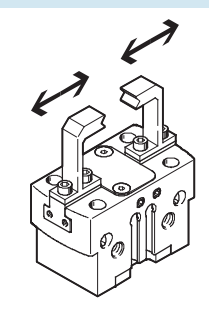
Hoja de datos

**FESTO** 

# Tiempos para abrir y cerrar [ms] con 6 bar

Sin dedos externos Con dedos externos





Los tiempos de apertura y de cierre [ms] aquí indicados fueron medidos a temperatura ambiente, con una presión de funcionamiento de 6 bar y con la pinza sin dedos adicionales y montada en posición horizontal. Al aplicar

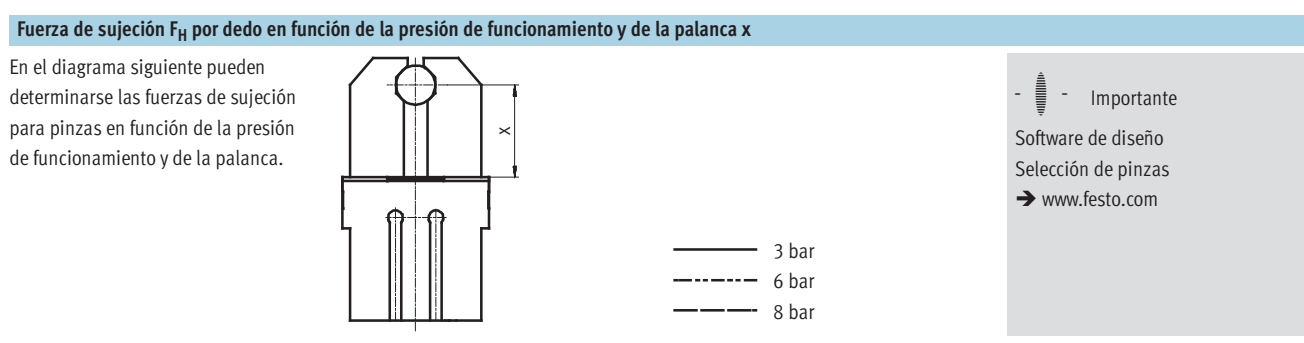
cargas superiores, deberá estrangularse el movimiento de los dedos. En ese caso, deberán ajustarse correspondientemente los tiempos de apertura y de cierre.

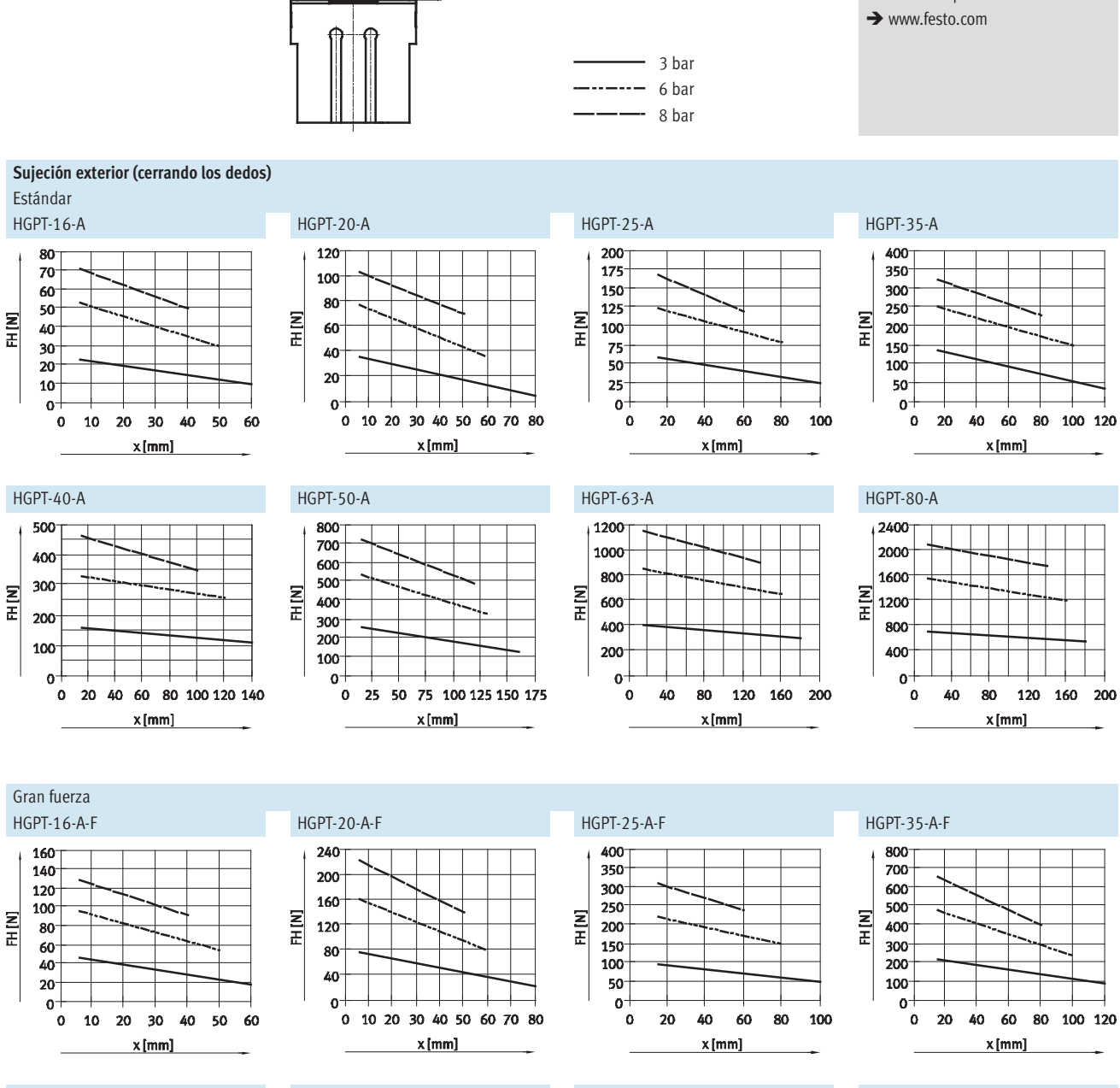
Tamaño			16	20	25	35	40	50	63	80
Sin dedos exter	rnos		·					·	•	
Estándar	HGPTA	Abrir	9	22	26	36	56	80	150	214
		Cerrar	11	30	32	67	60	85	156	213
	HGPTA-G1	Abrir	13	13	24	37	67	70	146	182
		Cerrar	31	25	48	114	135	153	328	353
	HGPTA-G2	Abrir	22	35	40	69	122	151	294	379
		Cerrar	15	18	28	87	71	77	185	176
Gran fuerza	HGPTA-F	Abrir	8	28	25	33	60	83	143	212
		Cerrar	10	31	32	70	64	82	152	211
	HGPTA-F-G1	Abrir	19	13	24	35	71	70	145	180
		Cerrar	30	25	45	115	143	143	315	340
	HGPTA-F-G2	Abrir	33	38	36	63	120	137	308	362
		Cerrar	17	14	28	72	72	80	154	178
Con dedos exte	ernos (en función del p	oeso)		•	•	•				
HGPT		0,5 N	10	-	-	-	-	-	-	-
		1 N	15	30	-	-	-	-	-	-
		2 N	21	42	35	-	-	-	-	-
		3 N	-	52	42	42	-	-	-	-
		4 N	-	-	49	49	63	-	-	-
		5 N	-	-	-	55	71	-	-	-
		6 N	-	-	-	-	78	-	-	-
		8 N	-	-	-	-	90	90	-	-
		10 N	-	-	-	-	-	95	-	-
		12 N	-	-	-	-	-	100	-	-
		15 N	-	-	-	-	-	-	164	-
		18 N	-	-	-	-	-	-	179	-
		20 N	-	-	-	-	-	-	189	223
		22 N	-	-	-	-	-	-	-	234
		24 N	-	-	-	-	-	-	-	244

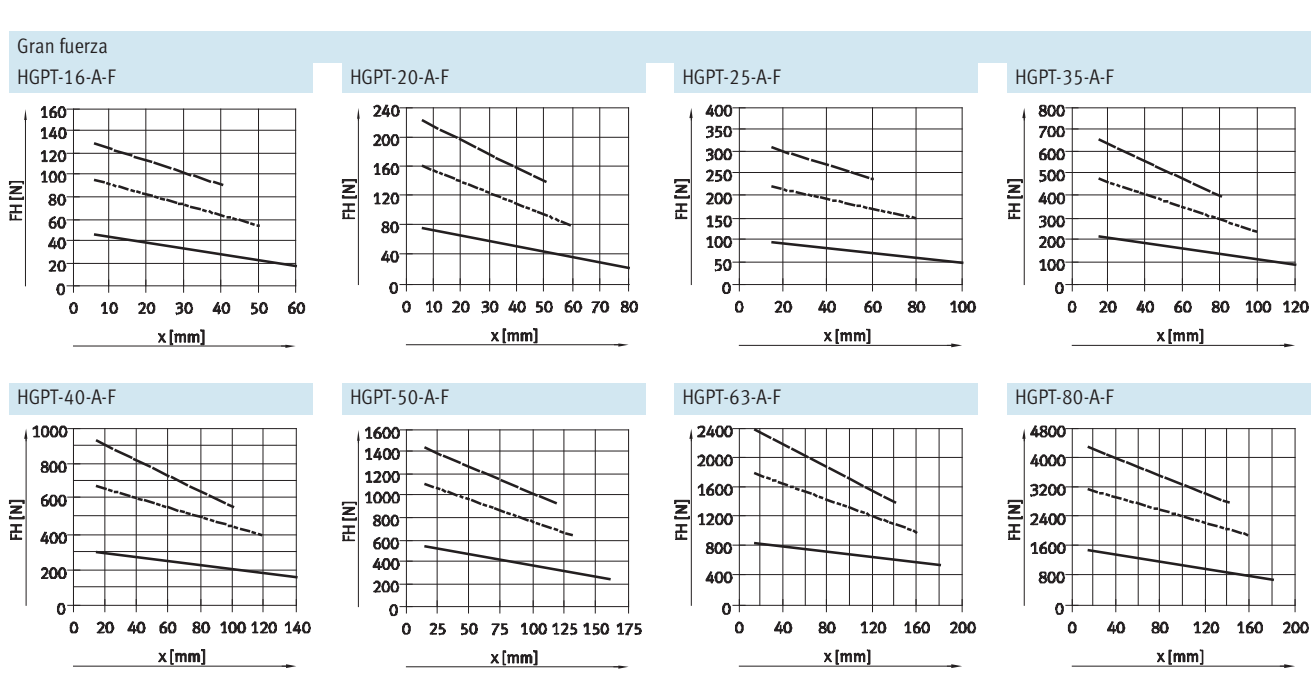


**FESTO** 

Hoja de datos





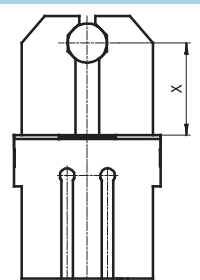


**FESTO** 

Hoja de datos

# Fuerza de sujeción F<sub>H</sub> por dedo en función de la presión de funcionamiento y de la palanca x

En el diagrama siguiente pueden determinarse las fuerzas de sujeción para pinzas en función de la presión de funcionamiento y de la palanca.

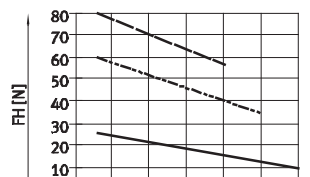


3 bar 6 bar 8 bar

- Importante
Software de diseño
Selección de pinzas
→ www.festo.com

#### Sujeción interior (abriendo los dedos)

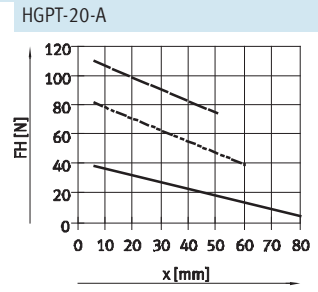


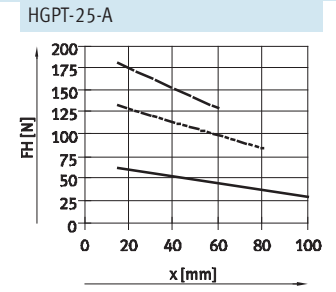


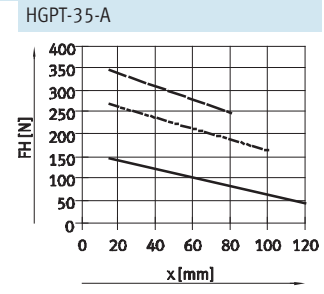
x [mm]

40 50

10 20 30

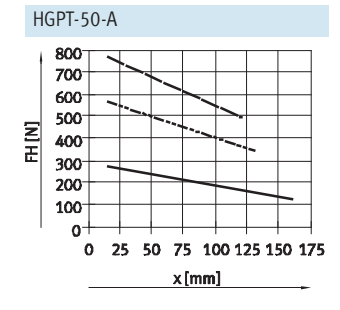


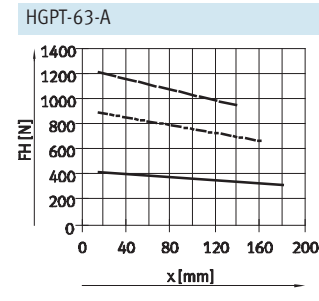


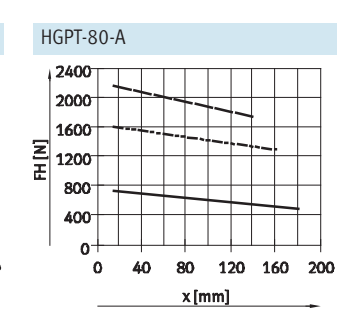


# HGPT-40-A 20 400 300 100 0 20 40 60 80 100 120 140

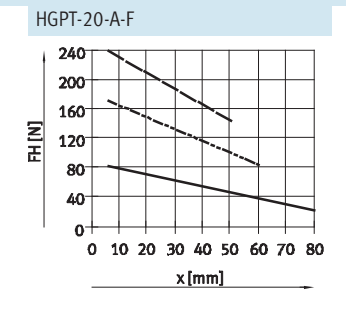
x[mm]

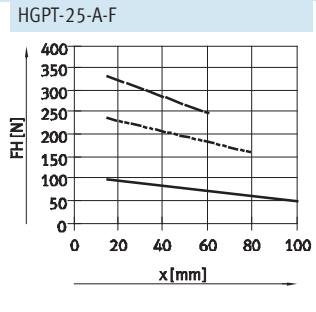


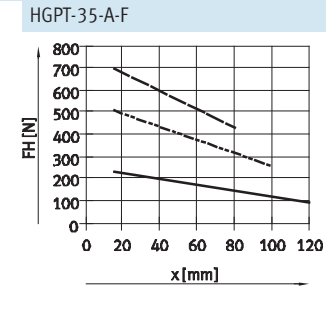


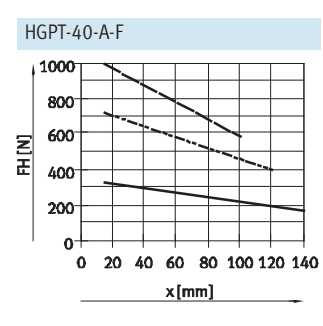


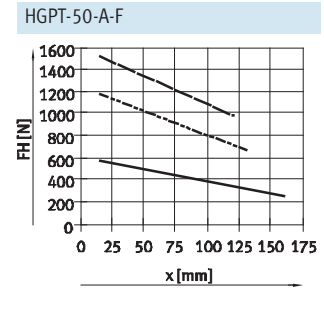
# Gran fuerza HGPT-16-A-F 160 140 120 100 80 60 40 20 0 10 20 30 40 50 60 x[mm]

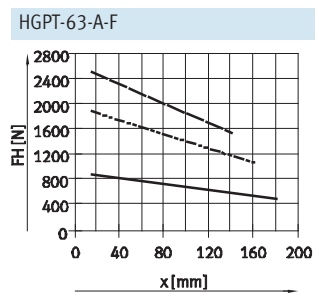


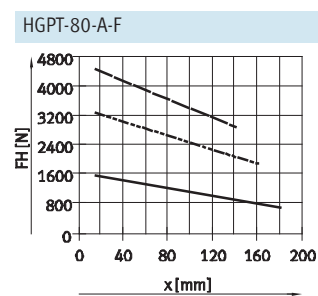














**FESTO** 

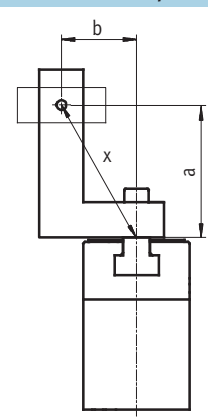
Hoja de datos

# Fuerza de sujeción F<sub>H</sub> por dedo con 6 bar, en función de la palanca x y la excentricidad a y b

Para calcular la palanca x de las pinzas excéntricas, debe aplicarse la siguiente fórmula:

$$x = \sqrt{a^2 + b^2}$$

Con el valor x calculado, en los diagramas ( $\Rightarrow$  11) se puede leer la fuerza de sujeción  $F_H$ .



### Ejemplo de cálculo

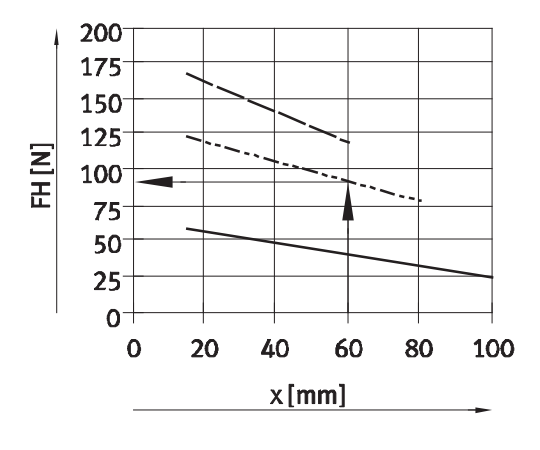
Valores conocidos: Distancia a = 45 mm

Distancia b = 40 mm

Incógnita:

Fuerza de sujeción con 6 bar con una pinza HGPT-25, utilizada como pinza de sujeción exterior Forma de proceder: Cálculo de la palanca x

$$x = \sqrt{45^2 + 40^2}$$



Según el diagrama ( $\Rightarrow$  11), la fuerza de sujeción es de  $F_H$  = 89 N.

**FESTO** 

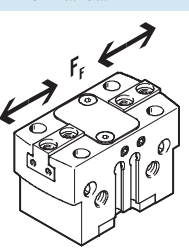
Hoja de datos

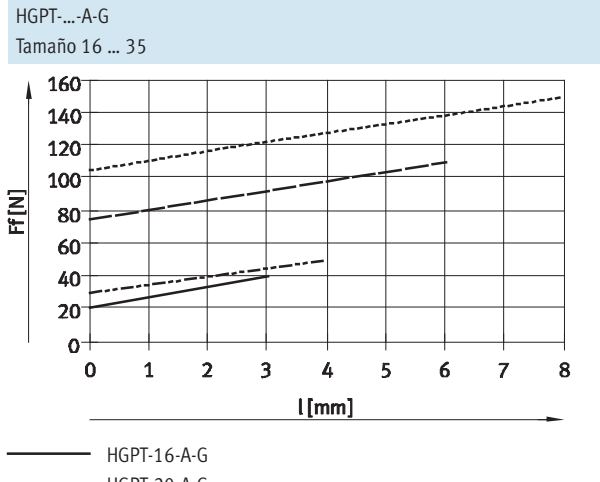
Estándar

# Fuerza del muelle $F_F$ por cada dedo, en función del tamaño, de la carrera l

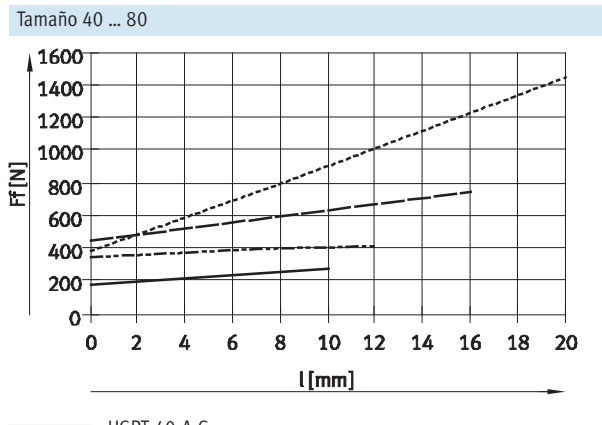
Aseguramiento de la fuerza de sujeción con HGPT-...-G...

En el siguiente diagrama constan las fuerzas del muelle  $F_F$  en función de la carrera l de las mordazas.

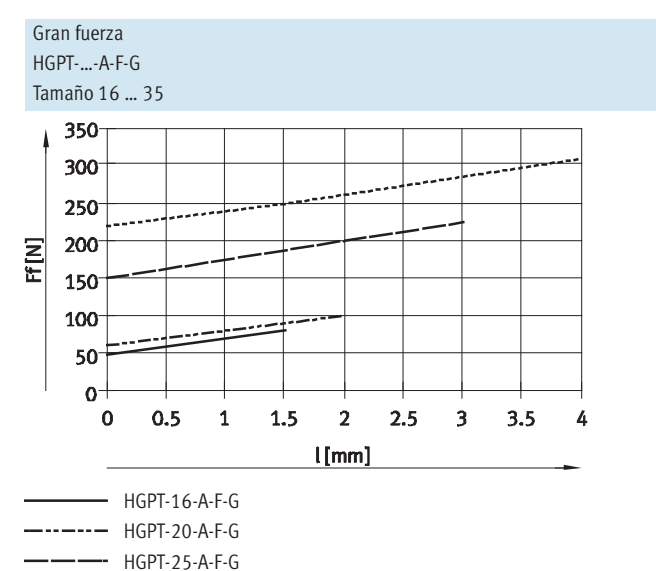


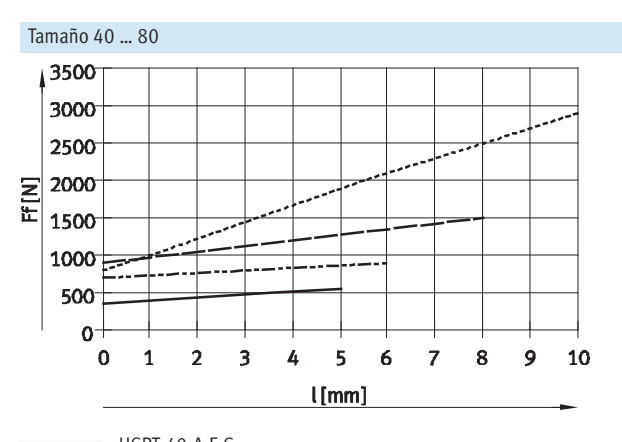














------ HGPT-35-A-F-G

**FESTO** 

Hoja de datos

# Fuerza del muelle F<sub>F</sub> por cada dedo, en función del tamaño, de la carrera 1 de las mordazas y de la longitud de los dedos

Para determinar la fuerza real del muelle F<sub>incógn.</sub> debe tenerse en cuenta la palanca x. En la tabla siguiente constan las fórmulas necesarias para calcular la fuerza del muelle.

# Estándar – HGPT-...-A-G

Muelle de asegura- miento de la fuerza de fijación	Tamaño	F <sub>incógn.</sub> =
G1	16	−0,1* x+0,7* F <sub>F</sub>
	20	−0,05* x+0,9* F <sub>F</sub>
	25	-0,7* x+0,7* F <sub>F</sub>
	35	−0,65* x+0,7* F <sub>F</sub>
	40	−1,05* x+0,8* F <sub>F</sub>
	50	−0,75* x+0,8* F <sub>F</sub>
	63	-2* x+0,8* F <sub>F</sub>
	80	-1,4* x+0,6* F <sub>F</sub>

	Muelle de asegura- miento de la fuerza de fijación	Tamaño	F <sub>incógn.</sub> =
i	G2	16	−0,2* x+0,7* F <sub>F</sub>
		20	−0,65* x+0,9* F <sub>F</sub>
		25	−0,55* x+0,7* F <sub>F</sub>
		35	−0,05* x+0,7* F <sub>F</sub>
		40	−1,05* x+0,8* F <sub>F</sub>
		50	−1,4* x+0,8* F <sub>F</sub>
		63	−1,2* x+0,8* F <sub>F</sub>
		80	-0,6* x+0,6* F <sub>F</sub>

### Gran fuerza – HGPT-...-A-F-G

Muelle de asegura- miento de la fuerza de fijación	Tamaño	F <sub>incógn</sub> . =
G1	16	-0,6* x+0,6* F <sub>F</sub>
	20	−0,7* x+0,75* F <sub>F</sub>
	25	−0,85* x+0,9* F <sub>F</sub>
	35	-0,4* x+0,55* F <sub>F</sub>
	40	−1,9* x+0,75* F <sub>F</sub>
	50	-2,5* x+0,7* F <sub>F</sub>
	63	-5,5* x+0,7* F <sub>F</sub>
	80	−5,65* x+0,8* F <sub>F</sub>

Muelle de asegura- miento de la fuerza de fijación	Tamaño	F <sub>incógn.</sub> =
G2	16	−0,4* x+0,6* F <sub>F</sub>
	20	−0,95* x+0,75* F <sub>F</sub>
	25	−0,5* x+0,9* F <sub>F</sub>
	35	−0,4* x+0,55* F <sub>F</sub>
	40	−2,3* x+0,75* F <sub>F</sub>
	50	−1* x+0,7* F <sub>F</sub>
	63	−1* x+0,7* F <sub>F</sub>
	80	−0,5* x+0,8* F <sub>F</sub>

## Determinación de las fuerzas de sujeción reales F<sub>Gr</sub> de HGPT-...-G1 y HGPT-...-G2 en función de cada caso específico

Las pinzas paralelas con muelle integrado tipo HGPT-...-G1 (seguro cerrado) y HGPT-...-G2 (seguro abierto) pueden ser utilizadas como - Pinzas de simple efecto

- Pinzas con apoyo de la fuerza de sujeción
- Pinzas con seguro de la fuerza de fijación

Para calcular las fuerzas de sujeción disponibles  $F_{inc\acute{o}g.}$  (por dedo) deberán combinarse los datos correspondientes relacionados con la fuerza de sujeción  $(F_{suj.})$  y la fuerza del muelle  $(F_{muelle}). \\$ 

## Aplicación

Simple efecto

Apoyo de la fuerza de sujeción

Muelle de aseguramiento de la fuerza de fijación

- Sujeción con la fuerza del muelle:  $F_{suj.} = F_{muelle}$
- Sujeción con presión y la fuerza del muelle:

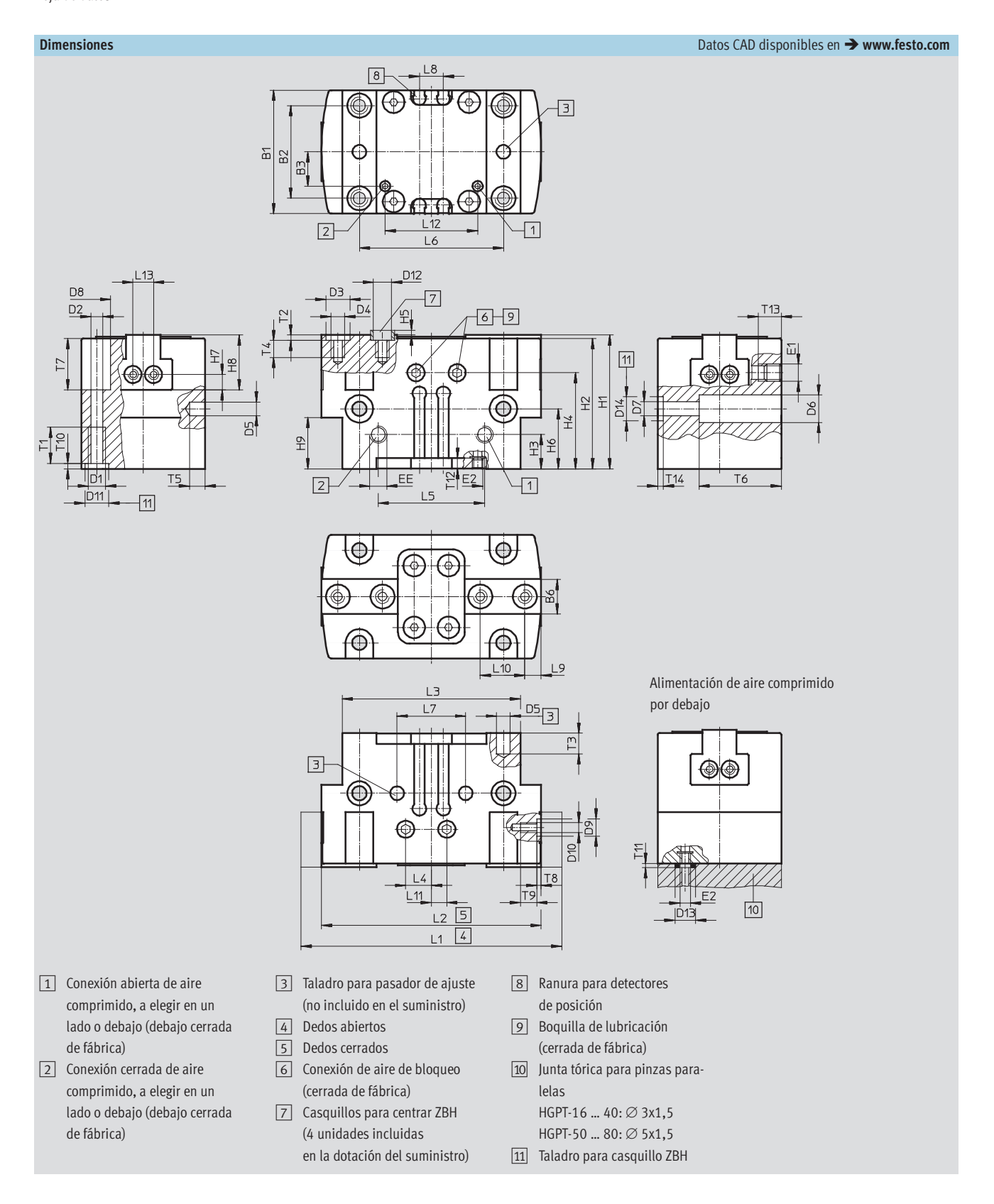
 $F_{suj.} = F_H + F_{Fmuelle}$ 

• Sujeción con la fuerza del muelle:

• Sujeción con presión:

**FESTO** 

Hoja de datos





# Pinzas paralelas robustas HGPT-B Hoja de datos

Tamaño	B1	B2 <sup>1)</sup>	В3	В6	D1	D2	D3	D4	D5	D6	D7	D8	D9	D10	D11	D12
				-0,05		Ø	Ø		Ø	Ø	Ø	Ø	Ø		Ø	Ø
[mm]	±0,05		±0,1	-0,1			H8/h7		Н8	±0,1		+0,3	Н8		Н8	
16	24	17	4	6	M3	2,6	5	M3	2	4,6	2,6	4,6	-	M2	5	3,2
20	28	22	8,7	6,5	M4	3,3	5	M3	3	6	3,2	6	5	M3	5	3,2
25	36	27	11	10	M5	4,2	7	M4	4	8	4,2	8	5	М3	7	5,3
35	42	32	13	12	M5	4,2	9	M5	4	9,2	5,3	8	7	M5	7	6,4
40	50	38	17	14	M6	5,1	9	M6	5	11	6,4	9	7	M5	9	6,4
50	60	45	20	15,5	M8	6,8	9	M6	6	13,5	8,4	11	7	M5	12	6,4
63	72	56	24,5	20	M8	6,8	12	M10	6	13,5	8,4	11	7	M5	12	10,3
80	100	70	39,5	22	M10	8,5	15	M12	8	16,5	10,2	13,5	9	M6	12	12,4
Tamaño	D13	D14	EE	E1	E2	Н	1	Н	2	Н	3	H	4	H5	Н	6 <sup>1)</sup>

Tamaño	D13	D14	EE	E1	E2	Н	1	Н	2	Н	3	Н	4	H5	He	6 <sup>1)</sup>
	Ø	Ø					-G		-G		-G		-G			-G
[mm]		H8/h7				±0,05	±0,05	±0,05	±0,05	±0,1	±0,1			-0,3		
16	6	-	M5	M3	M3	29	37	28	36	12	12	23,7	31,7	1,2	17,5	25,5
20	6	-	M5	M3	M3	31	38	30	37	10	15	23	30	1,2	14,5	21,5
25	6	7	M5	M5	M3	39	57	38	56	10	20	28	46	1,4	17,5	35,5
35	6	7	M5	M5	M3	49	67	48	66	12	30	36	54	1,9	20	38
40	6	9	M5	M5	M3	55	81	54	80	15	36	41	67	1,9	25	51
50	8	12	G1/8	M5	M5	63	93	62	92	15	30	47	77	1,9	30	60
63	8	12	G1/8	M5	M5	77	117	76	116	18	26	56	96	2,4	28	68
80	8	12	G1/4	M5	M5	91	133	90	132	22	33	65	107	2,9	34	76

Tamaño	H7 <sup>1)</sup>	Н8	Н	9	L	1	L2	L3	L4	L5	L6 <sup>1)</sup>	L7 <sup>1)</sup>	L8	L9 <sup>1)</sup>	L10 <sup>1)</sup>	L11
				-G		-F										
[mm]		-0,02	±0,1	±0,1	±0,5	±0,5	±0,5	±0,1	±0,5	±0,1			+0,1			±0,5
16	2,25	8,5	15	23	50	47	44	36	5,5	20	29	20	6	3	8	1
20	3	12	15	22	64	60	56	44	2,5	24	35	24	6	3,25	12	2,5
25	4,5	16	15	33	76	70	64	52	3,5	31	42	20	7	4,75	13	3,5
35	5,5	19	20	38	96	88	80	64	5,5	40	52	40	7	5,5	16	5,5
40	5,5	22	24	50	120	110	100	80	5,5	49	66	50	10	6,5	20	5,5
50	7,5	25,5	26	56	149	137	125	100	5,5	63	82	60	10	8	24	5,5
63	9	32	32	72	192	176	160	125	5,5	74	100	76	10	9,5	32	5,5
80	11	39	34	77	230	210	180	154	5,5	82	130	100	10	12	40	5,5

Tamaño	L12	L13 <sup>1)</sup>	T1	T2	T3	T4	T5	T6	T.	7	T8	T9	T10	T11	T12	T13	T14
[mm]	±0,1		mín.	+0,1	mín.	mín.	mín.		+0,2	-G +0,2	+0,1		+0,1		mín.	mín.	+0,1
16	22	6	5,5	1,3	4	5	4	15	14	22	_	3	1,3	1,2	3	5,5	-
20	22,6	6	6,5	1,3	5	5,5	4	19	11	11	1,3	6	1,3	1,2	3	5,5	-
25	29	6	8,5	1,6	6	6,5	4,5	24	15	15	1,3	6	1,6	1,2	3	6,7	1,6
35	39	13	8,5	2,1	6	8,5	4,5	16	19	19	1,6	9	1,6	1,2	3	6,5	1,6
40	47,4	13	10,5	2,1	6	10,5	6	33	20	20	1,6	9	2,1	1,2	4	6,5	2,1
50	61	13	12,5	2,1	8	10,5	6	43	23	23	1,6	9	2,6	1,2	4	6,5	2,6
63	75	13	12,5	2,6	8	15,5	7	55	35	35	1,6	9	2,6	1,2	5	6,5	2,6
80	82	20	15	3,1	10	20	10	70	44	44	2,1	10	2,6	1,2	5,5	5	2,6



# Pinzas paralelas robustas HGPT-B Hoja de datos

Referencias			
Tamaño	Doble efecto	De simple efecto o con aseguramiento de	la fuerza de sujeción
	Sin muelle de compresión	Al abrir	Al cerrar
[mm]	N° art. Tipo	N° art. Tipo	N° art. Tipo
Estándar			
16	560192 HGPT-16-A-B	560193 HGPT-16-A-B-G1	560194 HGPT-16-A-B-G2
20	560198 HGPT-20-A-B	560199 HGPT-20-A-B-G1	560200 HGPT-20-A-B-G2
25	560204 HGPT-25-A-B	560205 HGPT-25-A-B-G1	560206 HGPT-25-A-B-G2
35	560210 HGPT-35-A-B	560211 HGPT-35-A-B-G1	560212 HGPT-35-A-B-G2
40	560216 HGPT-40-A-B	560217 HGPT-40-A-B-G1	560218 HGPT-40-A-B-G2
50	560222 HGPT-50-A-B	560223 HGPT-50-A-B-G1	560224 HGPT-50-A-B-G2
63	560228 HGPT-63-A-B	560229 HGPT-63-A-B-G1	560230 HGPT-63-A-B-G2
80	560234 HGPT-80-A-B	560235 HGPT-80-A-B-G1	560236 HGPT-80-A-B-G2
Gran fuerza			
16	560195 HGPT-16-A-B-F	560196 HGPT-16-A-B-F-G1	560197 HGPT-16-A-B-F-G2
20	560201 HGPT-20-A-B-F	560202 HGPT-20-A-B-F-G1	560203 HGPT-20-A-B-F-G2
25	560207 HGPT-25-A-B-F	560208 HGPT-25-A-B-F-G1	560209 HGPT-25-A-B-F-G2
35	560213 HGPT-35-A-B-F	560214 HGPT-35-A-B-F-G1	560215 HGPT-35-A-B-F-G2
40	560219 HGPT-40-A-B-F	560220 HGPT-40-A-B-F-G1	560221 HGPT-40-A-B-F-G2
50	560225 HGPT-50-A-B-F	560226 HGPT-50-A-B-F-G1	560227 HGPT-50-A-B-F-G2
63	560231 HGPT-63-A-B-F	560232 HGPT-63-A-B-F-G1	560233 HGPT-63-A-B-F-G2
80	560237 HGPT-80-A-B-F	560238 HGPT-80-A-B-F-G1	560239 HGPT-80-A-B-F-G2

# Pinzas paralelas robustas HGPT-B Accesorios

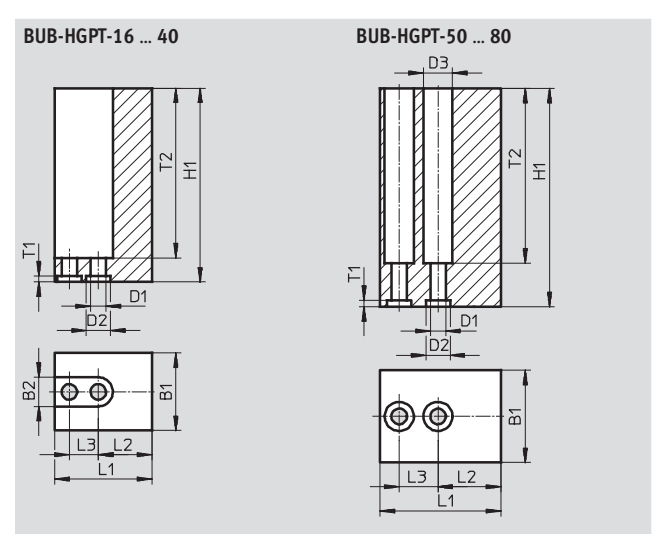
**FESTO** 

## Pieza en bruto para dedos **BUB-HGPT**

(El suministro incluye 2 unidades)

Material: Aluminio





Dimensiones y ref	erencias						
Para tamaño	B1	B2	D1	D2	D3	H1	L1
			Ø	Ø	Ø		
[mm]	±0,05	H13	H13	H8	H13	±0,05	±0,05
16	16	6	3,2	5	-	40	21
20	19	6	3,2	5	-	45	27
25	24	8	4,3	7	-	60	31
35	28	10	5,3	9	-	70	39
40	34	11	6,4	9	-	75	49
50	40	-	6,4	9	11	100	61
63	50	-	10,3	12	17	120	79
80	58	-	12,4	15	20	140	88

Para tamaño [mm]	L2 <sup>1)</sup>	L3 <sup>1)</sup>	T1 +0 <b>,</b> 1	Т2	Peso por mordaza en bruto [g]	N° art.	Тіро
16	10	8	1,3	35	29	560244	BUB-HGPT-16-B
20	11,75	12	1,3	36	53	560245	BUB-HGPT-20-B
25	13,25	13	1,6	51	98	560246	BUB-HGPT-25-B
35	17,5	16	2,1	61	161	560247	BUB-HGPT-35-B
40	22,5	20	2,1	66,5	280	560248	BUB-HGPT-40-B
50	29	24	2,1	91	622	560249	BUB-HGPT-50-B
63	37,5	32	2,6	110	1 213	560250	BUB-HGPT-63-B
80	36	40	3,1	125	1 738	560251	BUB-HGPT-80-B

<sup>1)</sup> Tolerancia del taladro para centrar ±0,02 mm Tolerancia del taladro roscado ±0,1 mm



# Pinzas paralelas robustas HGPT-B Accesorios

**FESTO** 

Referencia	as					
	Para tamaño	Descripción	Peso	N° art.	Tipo	PE <sup>1)</sup>
	[mm]		[g]			
Casquillo	para centrar ZBH				Hojas de datos •	→ Internet: zbh
<u>(M)</u>	16, 20	Para centrar las pinzas en las mordazas	1	189652	ZBH-5	10
	25		1	186717	ZBH-7	
	35, 40, 50		1	150927	ZBH-9	
	63		1	189653	ZBH-12	
	80		3	191409	ZBH-15	
	20, 25	Para centrar los dedos en las mordazas	1	189652	ZBH-5	
	35, 40, 50, 63		1	186717	ZBH-7	
	80		1	150927	ZBH-9	
	16, 20	Para centrar la pinza después del montaje	1	189652	ZBH-5	
	25, 35		1	186717	ZBH-7	
	40		1	150927	ZBH-9	
	50, 63, 80		1	189653	ZBH-12	
Casquillo	de unión ZBV				Hojas de datos •	→ Internet: zbv
	-	Para compensar diámetros de centrado diferentes	1	571033	ZBV-6-5	1
			1	571034	ZBV-8-7	
			1	560253	ZBV-9-8	
			2	571035	ZBV-12-10	
			2	560255	ZBV-14-12	
Tapón cieg	go B			Но	jas de datos ➤ Interr	net: tapón ciego
	16, 20	Para cerrar las conexiones de aire comprimido	1	30979	B-M3-S9	10
	25, 35, 40		1	174308	B-M5-B	
-	50,63		5	3568	B-1/8	
	80		15	3569	B-1/4	

<sup>1)</sup> Cantidad por unidad de embalaje

Detectores	de nos	ición na	ra tamaños	16	35
Detectores	uc pus	icivii pai	ia taillallus	TO	"

Detectores un	Detectiones de position para tamanos 10 55							
Referencias: Detectores de posición para ranura en C, magnetorresistivos Hojas de d								
	Tipo de fijación	Salida conmutada	Conexión eléctrica Sentido de la salida de la conexión	Longitud del cable [m]	N° art.	Тіро		
Contacto norn	Contacto normalmente abierto							
A	Introducción a lo largo	PNP	Cable trifilar, transversal	2,5	547862	SMT-10G-24V-E-2,5Q-0E		
	de la ranura		Conector tipo clavija M8x1 de 3 contactos, transversal	0,3	547863	SMT-10G-24V-E-0,3Q-M8D		

# Detectores de posición para tamaños 40 ... 80

Referencias: D	Oetectores para ranura en T,	Hojas de datos → Internet: smt					
	Tipo de fijación	Salida	Conexión eléctrica	Longitud del	N° art.	Tipo	
		conmutada	Sentido de la salida de la conexión	cable			
				[m]			
Contacto norm	Contacto normalmente abierto						
A	Introducción a lo largo	PNP	Cable trifilar, transversal	2,5	547859	SMT-8G-24V-E-2,5Q-0E	
	de la ranura		Conector tipo clavija M8x1	0,3	547860	SMT-8G-24V-E-0,3Q-M8D	
			de 3 contactos, transversal				
(B)							



# Pinzas paralelas robustas HGPT-B Accesorios

Detectores de posición para tamaños 40 80								
Referencias: T	ransmisor de posiciones par		Hojas de datos → Internet: smat					
	Tipo de fijación	Salida analógica [V]	Conexión eléctrica Sentido de la salida de la conexión	Longitud del cable [m]	N° art.	Tipo		
CA SOL	Montaje en la ranura desde la parte superior	0 10	Conector tipo clavija M8x1 de 3 contactos, transversal	0,3	553744	SMAT-8M-U-E-0,3-M8D		

- 🏥 - Importante			
Funcionamiento:	Margen de medida:		Saliente:
El transmisor de posiciones detecta	En los tamaños 40 y 50, la medición	Para efectuar mediciones en carreras	En los tamaños 40 y 50, el transmisor
de manera continua la posición del	puede realizarse a lo largo de toda la	más largas, se necesitan dos	de posiciones sobresale en la parte
émbolo. Dispone de una salida ana-	carrera.	transmisores de posiciones.	posterior.
lógica con una señal de salida pro-	En los tamaños 63 y 80, puede me-		
porcional a la posición del émbolo.	dirse una carrera de 13 mm (variante		
	de gran fuerza: 6 5 mm)		

Referencias: C	Hojas de datos → Internet: nebu				
	Conexión eléctrica en el lado izquierdo	Conexión eléctrica en el lado derecho	Longitud del cable [m]	N° art.	Tipo
	Conector tipo zócalo M8x1, 3 contactos	Cable trifilar, extremo abierto	2,5	541333	NEBU-M8G3-K-2.5-LE3
<b>6</b>			5	541334	NEBU-M8G3-K-5-LE3
	Conector acodado tipo zócalo M8x1,	Cable trifilar, extremo abierto	2,5	541338	NEBU-M8W3-K-2.5-LE3
	3 contactos		5	541341	NEBU-M8W3-K-5-LE3